槲皮素对 SW620 细胞迁移和侵袭的影响

进¹*, 王贵玉2 黄文涛1,

(1. 武汉市第一医院药学部, 湖北 武汉 430000; 2. 哈尔滨医科大学附属肿瘤医院肿瘤科, 黑龙江 哈尔滨 150040)

摘要:目的 探索槲皮素对结直肠癌细胞 SW620 迁移和侵袭的影响。方法 不同浓度 (0、25、50、100 μmol/L) 槲 皮素处理 SW620 细胞后, MTT 法检测细胞存活率, Transwell 法检测细胞迁移和侵袭, RT-PCR、Western blot 分别检测 STAT3 mRNA、蛋白表达。结果 槲皮素呈剂量和时间依赖性地降低 SW620 细胞存活率、STAT3 mRNA 表达。最佳浓 度、处理时间分别为 50 μmol/L、48 h,细胞迁移和侵袭显著降低(P<0.05)。敲低 STAT3,SW620 细胞存活率、迁移 和侵袭数目明显减少(P<0.05)。STAT3过表达显著逆转槲皮素对细胞存活率、迁移和侵袭的抑制作用(P<0.05)。 结论 槲皮素可通过调控 STAT3 表达来抑制 SW620 细胞迁移和侵袭。

关键词: 槲皮素; SW620 细胞; 迁移; 侵袭; STAT3

中图分类号: R285.5 文献标志码: A 文章编号: 1001-1528(2019)09-2079-05

doi:10.3969/j.issn.1001-1528.2019.09.012

Effects of quercetin on the migration and invasion of SW620 cells

HUANG Wen-tao¹. ZHOU Jin^{1*}, WANG Gui-yu²

(1. Department of Pharmacy, The First Hospital of Wuhan, Wuhan 430000, China; 2. Department of Oncology, Cancer Hospital Affiliated to Harbin Medical University, Harbin 150040, China)

ABSTRACT: AIM To explore the effects of quercetin on migration and invasion of colorectal cancer SW620 cells. METHODS SW620 cells were treated with different concentrations (0, 25, 50, 100 μmol/L) of quercetin, after which cell viability was detected by MTT assay, cell migration and invasion were detected by Transwell assay, STAT3 mRNA and protein expressions were detected by RT-PCR and Western blot, respectively. RESULTS Quercetin decreased SW620 cell viability and STAT3 mRNA expression in dose-dependent and time-dependent mannerso the optimal concentration and treatment time were determined to be 50 µmol/L and 48 h, repsectively, along with significantly reduced cell migration and invasion (P<0.05); and the cell viability, migration and invasion of SW620 cells were significantly reduced when STAT3 was knocked down (P < 0.05). The overexpression of STAT3 obviously reversed the inhibitory effects of quercetin on cell viability, migration and invasion (P<0.05). **CONCLUSION** Quercetin can inhibit the migration and invasion of SW620 cells by regulating STAT3 expression.

KEY WORDS: quercetin; SW620 cells; migration; invasion; STAT3

结直肠癌是常见的消化系统恶性肿瘤, 其发病 率和死亡率呈逐年上升趋势[1],发病率在恶性肿 瘤中排名第 4 位, 死亡率居第 5 位[2]。手术、放 疗、化疗为结直肠癌主要治疗方式,但毒副作用较 大, 预后效果不佳[3], 故寻找毒副作用较小的高 效药物具有重要意义。

槲皮素是一种存在于车前子、紫花地丁等多种

中药中的黄酮类化合物,具有抗菌消炎、保护心血 管、抗肿瘤等作用[4], 能诱导细胞凋亡, 抑制细 胞增殖,延长细胞周期,调节肿瘤相关基因表达, 在乳腺癌、卵巢癌、肝癌等多种恶性肿瘤中发挥抑 制作用[5-7]。Avinaba 等[8] 发现, 槲皮素可通过调 节 STAT3 信号通路来诱导非小细胞肺癌 A549 细胞 凋亡: Yang 等[9]报道, 槲皮素可通过调节 Akt/c-

收稿日期: 2018-12-05

作者简介: 黄文涛 (1979—), 男, 硕士, 主管药师, 研究方向为新制剂研发。Tel: 18627077301, E-mail: hnliuskzzj@ 163.com

^{*}通信作者: 周 进 (1983—), 男, 硕士, 主管药师, 研究方向为药物制剂。Tel: (027) 61871268

Myc 信号通路来诱导结直肠癌 HT-29 细胞凋亡,使细胞周期停滞,从而抑制细胞增殖,但尚无关于槲皮素调控 STAT3 表达来影响结直肠癌 SW620 细胞迁移、侵袭的报道。因此,本实验观察槲皮素对 SW620 细胞活力、迁移、侵袭的抑制作用,以及对 STAT3 表达的影响,探讨相关作用机制。

1 材料

人正常结肠上皮细胞 NCM460、人结肠癌细胞 SW620 购自中国典型培养物保藏中心(CCTCC)。 胎牛血清、RPMI-1640 培养基、二甲基亚砜 (DM-SO) 购自美国 Gibco 公司; 槲皮素、胰蛋白酶购 自北京索莱宝科技有限公司; BCA 试剂盒、PBS 缓冲液、MTT 试剂盒购自美国 Sigma 公司; Transwell 小室购自美国 Corning 公司; β-actin、 STAT3 一抗购自英国 Abcam 公司; HRP 二抗购自 上海碧云天生物科技公司; Trizol 试剂、 Lipofectamine TM 2000、SDS-PAGE 试剂盒购自美 国 Invitrogen 公司: TaKaRa 反转录试剂盒、荧光定 量试剂盒购自宝生物工程(大连)有限公司; PVDF 膜购自美国 Millipore 公司; ABI-7300 实时荧 光定量 PCR 仪购自上海普迪生物技术有限公司; NanoDrop 微量核酸测定仪购自美国赛默飞世尔科 技公司:凝胶成像分析仪购自柯达公司。

2 方法

- 2.1 细胞培养及转染 含 10% 胎牛血清的 RPMI-1640 培养基于 37 ℃、5% CO₂ 下培养 NCM460、SW620 细胞,每 2 d 换液 1 次,细胞汇合度达到 80% 后用 0.25% 胰酶消化并传代,待细胞生长状态稳定后取对数生长期细胞用于后续实验。收集汇合度约 50% 的 SW620 细胞,按照 Lipofectamine TM 2000 转 染 试 剂 说 明 书 分 别 加 人 转 染 试 剂 Lipofectamine 与 si-NC、si-STAT3、pcDNA、STAT3,并依次标记为 si-NC 组、si-STAT3 组、槲皮素+pcDNA 组、槲皮素+STAT3 组。
- 2.2 给药及分组 DMSO 溶解槲皮素,配成 20 mmol/L贮备液,于-20 ℃下保存,使用时用 RPMI-1640 培养液稀释,用于细胞培养。将其加入 到 SW620 细胞培养液中,槲皮素终浓度分别为 0、25、50、100 μ mol/L,重复 5 次,各组细胞置于细胞培养箱中,37 ℃、5% CO₂ 下常规培养 24 h,50 μ mol/L槲皮素处理的细胞分别培养 0、24、48、72 h,每组重复 5 次。
- 2.3 细胞存活率检测 采用 MTT 法。取槲皮素0 μmol/L 组、25 μmol/L 组、50 μmol/L 组、

100 μmol/L组, si-NC 组, si-STAT3 组细胞, 在转染后的槲皮素+pcDNA 组和槲皮素+STAT3 组细胞培养液中加入槲皮素, 调整终浓度为 50 μmol/L。培养 24 h 后, 各组细胞加入 20 μL MTT 孵育 4 h, 弃去培养基, 每孔加 150 μL DMSO, 振荡溶解10 min, 酶标仪检测 490 nm 波长处各孔光密度(OD)值, 计算存活率, 公式为存活率=(实验组OD值/对照组 OD值)×100%。

- 2.4 细胞迁移和侵袭检测 采用 Transwell 法。各组细胞加入 2.5 μg/mL 丝裂霉素 C 干预 24 h 以抑制细胞分裂,培养结束后加入适量胰酶消化,PBS 缓冲液清洗后用无血清培养基重悬细胞,调整密度为 3×10⁴/mL,取 200 μL 接种于包被、未包被基质胶的小室中,放到含完全培养基的下室中常规培养 24 h,弃去多余培养基,PBS 缓冲液洗涤后加入 4% 多聚甲醛固定 30 min,0.1% 结晶紫染色10 min,显微镜观察并随机选取 6 个视野拍照,计数。
- 2.5 STAT3 mRNA 表达检测 采用 RT-PCR 法。 收集各组对数生长期的细胞,充分研磨后加入 Trizol 试剂提取总 RNA,NanoDrop 微量核酸测定仪 检测 RNA 纯度和浓度,凝胶电泳系统检测 RNA 完整性。TaKaRa 反转录试剂盒将 RNA 反转录成 cDNA,按照 TaKaRa 荧光定量试剂盒使用说明配 制反应体系,以β-actin 为内参,置于 ABI-7300 实 时荧光定量 PCR 仪上进行扩增,每个样品重复 3 次,引物序列见表 1,采用 2-ΔΔCI 法进行分析。

表 1 引物序列

Tab. 1 Primer sequences

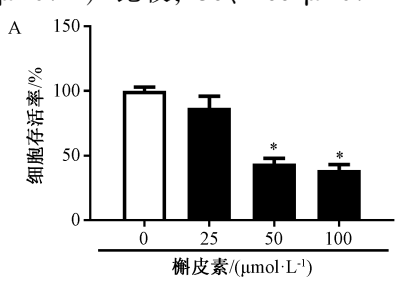
基因	5'-3'
STAT3	正向 TGTCCGTCGTGGATCTGAC
STAT3	反向 CCTGCTTCACCACCTTCTTG
β -actin	正向 CTCCTGGCAAGAATGGAGAT
β -actin	反向 AATCCACGAGCACCCTGA

- 2.6 STAT3 蛋白表达检测 采用 Western blot 法。各组细胞超声粉碎后,加入含蛋白酶抑制剂的RIPA 裂解液裂解 5 min,4 ℃、12 000 r/min 离心15 min,收集上清,BCA 试剂盒检测蛋白浓度。取50 μL 进行 SDS-PAGE 电泳,结束后转至 PVDF 膜,5% 脱脂奶粉 PBST 封闭 2 h,加入稀释过的 β-actin 或 STAT3 单克隆抗体,一抗于 4 ℃下孵育过夜,PBST 漂洗 3 次,加入 HRP 标记的二抗室温孵育 2 h,PBST 漂洗 3 次,ECL 试剂显色,凝胶成像系统拍照。每个样品重复 3 次。
- 2.7 统计学分析 通过 SPSS 22.0 软件进行处理,数据以 $(\bar{x}\pm s)$ 表示,组间比较采用单因素方差分

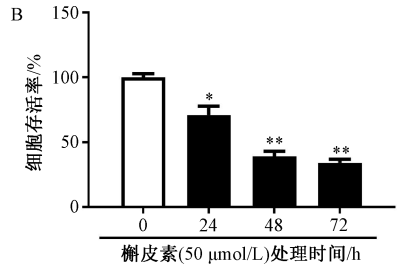
析和 SNK-q 法,不同时间点数据比较采用重复测量方差分析。以 P<0.05 为差异有统计学意义。

3 结果

3.1 槲皮素对 SW620 细胞存活率的影响 图 1 显示,与对照组 (0 μmol/L) 比较,50、100 μmol/L



槲皮素处理后细胞存活率显著降低 (P<0.05),考虑到成本方面,选择 50 μ mol/L;与对照组(0 h)比较,50 μ mol/L 槲皮素处理 24、48、72 h 后其存活率也显著降低 (P<0.05, P<0.01),考虑到效率方面,选择 48 h。

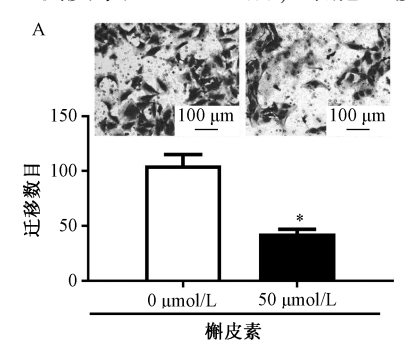


注: A 为不同浓度槲皮素处理 24 h 对 SW620 细胞存活率的影响, B 为 50 μ mol/L 槲皮素处理不同时间对 SW620 细胞存活率的影响。与对照组(0 μ mol/L 或 0 h)比较, * P<0.05, ** P<0.01

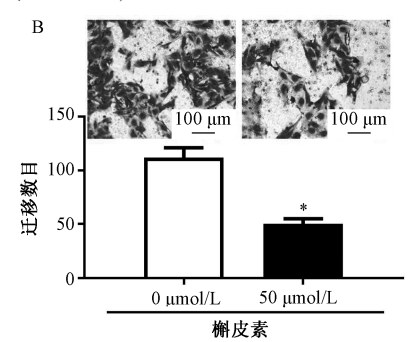
图 1 槲皮素对 SW620 细胞存活率的影响

Fig. 1 Effect of quercetin on the survival rate of SW620 cells

3.2 槲皮素对 SW620 细胞迁移、侵袭的影响 图 2显示,50 μmol/L 槲皮素处理48 h 后,细胞迁移



数目、侵袭数目较对照组 $(0 \mu mol/L)$ 显著降低 (P<0.05)。

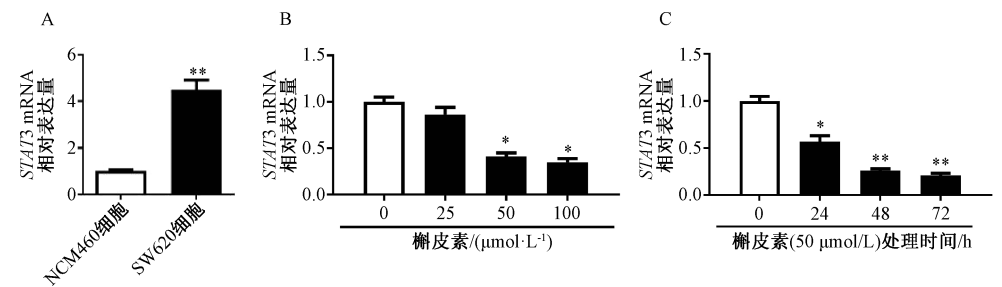


注: A 为槲皮素对 SW620 细胞迁移数目的影响, B 为槲皮素对 SW620 细胞侵袭数目的影响。与对照组 (0 μmol/L) 比较,* P<0.05 **图 2 槲皮素对 SW620 细胞迁移、侵袭的影响**

Fig. 2 Effects of quercetin on the migration and invasion of SW620 cells

3.3 槲皮素对 *STAT*3 mRNA 表达的影响 图 3 显示,与 NCM460 细胞组比较,SW620 细胞组 *STAT*3 mRNA 表达显著上调 (*P* < 0.01);与对照组 (0 μmol/L) 比较,50、100 μmol/L 槲皮素处理后

其 mRNA 表达显著下调 (*P*<0.05); 与对照组 (0 h) 比较, 处理 24、48、72 h 后其 mRNA 表达 也显著下调 (*P*<0.05, *P*<0.01)。

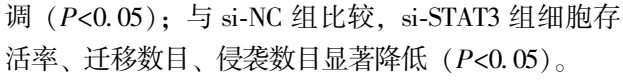


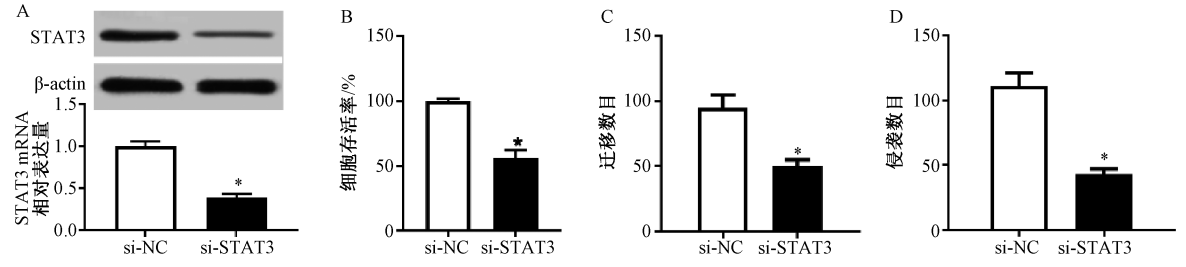
注: A 为 STAT3 在人正常结肠上皮细胞 NCM460、结直肠癌细胞 SW620 中的表达,B 为不同浓度槲皮素处理 24 h 对 STAT3 表达的影响,C 为 50 μ mol/L 槲皮素处理不同时间对 STAT3 表达的影响。与 NCM460 组比较,** P<0.01;与对照组(0 μ mol/L 或 0 h)比较,* P<0.05,** P<0.01

图 3 槲皮素对 STAT3 mRNA 表达的影响

Fig. 3 Effect of quercetin on STAT3 mRNA expression

3.4 敲低 STAT3 对 SW620 细胞存活率、迁移、侵袭的影响 图 4显示, 敲低 STAT3 后其蛋白表达显著下



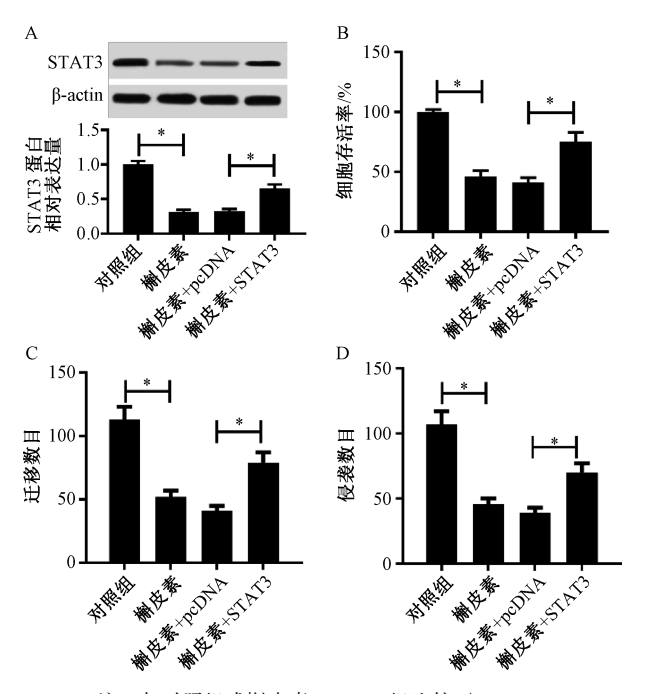


注:A 为 STAT3 蛋白表达,B 为细胞存活率,C 为细胞迁移数目,D 为细胞侵袭数目。与 si-NC 组比较,* P<0.05

图 4 敲低 STAT3 对 SW620 细胞存活率、迁移、侵袭的影响

Fig. 4 Effects of knockdown of STAT3 on the survival, migration and invasion of SW620 cells

3.5 过表达 STAT3 对 SW620 细胞存活率、迁移、侵袭的影响 图 5 显示,与对照组比较,槲皮素组 STAT3 蛋白表达显著下调 (P<0.05),而过表达 STAT3 后槲皮素+STAT3 组蛋白表达显著上调 (P<0.05);槲皮素组细胞存活率、迁移数目、侵袭数目显著降低 (P<0.05),而过表达 STAT3 后槲皮素+STAT3 组生存、迁移、侵袭能力显著增强 (P<0.05)。



注:与对照组或槲皮素+pcDNA 组比较,*P<0.05

图 5 过表达 STAT3 对 SW620 细胞存活率、迁移、侵袭的影响

Fig. 5 Effects of overexpression of STAT3 protein expression on the survival, migration and invasion of SW620 cells

4 讨论

结直肠癌发生与年龄、性别、遗传等多种因素

有关,我国结直肠癌患者主要为中老年人,其中男性居多^[10]。目前,手术是主要治疗手段,辅以放疗、化疗,但对患者毒副作用较强,影响患者预后生活质量。研究显示,中药在结直肠癌治疗中能提高机体免疫力,减轻放疗、化疗引起的不良反应,提高预后生存率^[11]。

槲皮素在肿瘤细胞中能阻滞细胞周期,诱导细胞凋亡^[12],例如在肺癌细胞中通过抑制极光激酶B(Aurora B)活性来抑制肿瘤生长^[13];在胃癌细胞中通过调节基质金属蛋白酶、核转录因子-κB、细胞外调节蛋白激酶(ERK1/2)表达来抑制细胞迁移和侵袭,发挥抗肿瘤转移的作用^[14];在胶质母细胞瘤细胞中通过调节 STAT3 表达来抑制癌细胞增殖、迁移、侵袭^[15];在结直肠癌的研究中不仅能通过调节 Akt/c-Myc 信号通路来诱导细胞凋亡,抑制细胞增殖^[9],还能通过调节 Wnt/β-catenin 信号通路来延长细胞周期,抑制细胞凋亡。本实验发现,槲皮素能呈剂量、时间依赖性地抑制 SW620 细胞存活率、迁移、侵袭,以50 μmol/L下处理 48 h 效果最佳,同时也能呈剂量、时间依赖性地抑制 STAT3 表达。

STAT3 是信号转导与转录活化因子(STAT)家族的一员,能调节与细胞周期、免疫应答等相关基因的表达,并参与血管生成、细胞增殖、凋亡等生物过程,是 JAK/STAT 信号通路中的重要因子^[17-18],存在于多种肿瘤细胞中,激活时能抑制癌细胞凋亡,促进肿瘤发生^[19]。研究表明,STAT3 能通过靶向 Bcl-2、Bcl-xl、细胞周期蛋白D1等下游靶基因来调节乳腺癌肿瘤的生长^[20],敲除 STAT3 能抑制 Bcl-2、Bcl-xl 表达,诱导卵巢癌细胞凋亡^[21];干扰 STAT3 表达能促进结直肠癌细胞凋亡,抑制细胞侵袭^[22-23]; Zhang 等^[24] 报道,

Vol. 41 No. 9

激活 STAT3 信号传导途径能增强结直肠癌细胞生长、转移,促进肿瘤发生。本实验发现,敲低 STAT3 能抑制 SW620 细胞存活、迁移、侵袭,与前期报道[22-24]一致;槲皮素处理后,STAT3 蛋白表达明显下调,细胞存活率、迁移和侵袭能力明显减弱,过表达 STAT3 能逆转槲皮素对 SW620 细胞迁移、侵袭的抑制作用。

综上所述, 槲皮素能抑制 SW620 细胞存活、 迁移、侵袭, 其机制可能与抑制 SW620 细胞中 STAT3 表达有关, 表明槲皮素可能对结直肠癌发生 发展具有抑制作用, 可为相关深入研究提供实验 基础。

参考文献:

- [1] Connell L C, Mota J M, Braghiroli M I, et al. The rising incidence of younger patients with colorectal cancer: questions about screening, biology, and treatment [J]. Curr Treat Options Oncol, 2017, 18(4): 23.
- [2] 韦金磊,张 森. 结直肠癌的临床治疗进展[J]. 中国临床 新医学, 2018, 11(2): 202-208.
- [3] Yi H, Yao Y, Gu J. Sensitive biomarkers of preoperative radiotherapy in advanced rectal cancer patients [J]. *Chin J Gastroi*ntest Surg, 2014, 17(3): 206-211.
- [4] 黎 敏, 杨武斌, 米本中, 等. 槲皮素抗癌作用机制相关研究报道[J]. 中药药理与临床, 2018, 34(2): 24, 129-132.
- [5] Nguyen L T, Lee Y H, Sharma A R, et al. Quercetin induces apoptosis and cell cycle arrest in triple-negative breast cancer cells through modulation of Foxo3a activity [J]. Korean J Physiol Pharmacol, 2017, 21(2): 205-213.
- [6] Liu Y, Gong W, Yang Z Y, et al. Quercetin induces protective autophagy and apoptosis through ER stress via the p-STAT3/ Bcl-2 axis in ovarian cancer [J]. Apoptosis, 2017, 22 (4): 544-557.
- [7] Zhou J, Li L U, Fang L I, et al. Quercetin reduces cyclin D1 activity and induces G1 phase arrest in HepG2 cells[J]. Oncol Lett, 2016, 12(1): 516-522.
- [8] Mukherjee A, Khuda-Bukhsh A R. Quercetin down-regulates IL-6/STAT-3 signals to induce mitochondrial-mediated apoptosis in a nonsmall-cell lung-cancer cell line, A549[J]. J Pharmacopuncture, 2015, 18(1): 19-26.
- [9] Yang L, Liu Y, Wang M, et al. Quercetin-induced apoptosis of HT-29 colon cancer cells via inhibition of the Akt-CSN6-Myc signaling axis[J]. Mol Med Rep, 2016, 14(5): 4559-4566.
- [10] 赵晓敏,李云涛,季国忠. 结直肠癌筛查现状与进展[J].

- 中国临床研究, 2016, 29(6): 838-841.
- [11] 李 娟,杨 柱,唐东昕,等.中医药防治结直肠癌研究进展[J]. 湖南中医杂志,2017,33(12):157-159.
- [12] Kashyap D, Mittal S, Sak K, et al. Molecular mechanisms of action of quercetin in cancer: recent advances [J]. Tumour Biol, 2016, 37(10): 12927-12939.
- [13] Xingyu Z, Peijie M, Dan P, et al. Quercetin suppresses lung cancer growth by targeting Aurora B kinase [J]. Cancer Med, 2016, 5(11); 3156-3165.
- [14] Li H, Chen C. Quercetin has antimetastatic effects on gastric cancer cells via the interruption of uPA/uPAR function by modulating NF-κb, PKC-δ, ERK1/2, and AMPKα [J]. Integr Cancer Ther, 2018, 17(2): 511-523.
- [15] Michaud-Levesque J, Bousquet-Gagnon N, Béliveau R. Quercetin abrogates IL-6/STAT3 signaling and inhibits glioblastoma cell line growth and migration [J]. Exp Cell Res, 2012, 318(8): 925-935.
- [16] Shan B E, Wang M X, Li R Q. Quercetin inhibit human SW480 colon cancer growth in association with inhibition of cyclin D1 and survivin expression through Wnt/β-catenin signaling pathway[J]. Cancer Invest, 2009, 27(6): 604-612.
- [17] Pruitt H C, Devine D J, Samant R S. Roles of N-Myc and STAT interactor in cancer: from initiation to dissemination [J]. *Int J Cancer*, 2016, 139(3): 491-500.
- [18] Furtek S L, Backos D S, Matheson C J, et al. Strategies and approaches of targeting STAT3 for cancer treatment [J]. ACS Chem Biol, 2016, 11(2): 308-318.
- [19] Siveen K S, Sikka S, Surana R, et al. Targeting the STAT3 signaling pathway in cancer: role of synthetic and natural inhibitors
 [J]. Biochim Biophys Acta, 2014, 1845(2): 136-154.
- [20] Banerjee K, Resat H. Constitutive activation of STAT3 in breast cancer cells: a review [J]. Int J Cancer, 2016, 138 (11): 2570-2578.
- [21] Han Z, Feng J, Hong Z, et al. Silencing of the STAT3 signaling pathway reverses the inherent and induced chemoresistance of human ovarian cancer cells[J]. Biochem Biophys Res Commun, 2013, 435(2): 188-194.
- [22] Shi N, Yu L, Chen L, et al. Growth inhibition and underlying mechanisms following siRNA silencing of STAT3 in colorectal cancer SW480 cells [J]. Chin J Cancer, 2014, 21 (1): 44-48.
- [23] Zhang J, Lu Y, Yue X, et al. MiR-124 suppresses growth of human colorectal cancer by inhibiting STAT3 [J]. PLoS One, 2013, 8(8): e70300.
- [24] Zhang X, Hu F, Li G, et al. Human colorectal cancer-derived mesenchymal stem cells promote colorectal cancer progression through IL-6/JAK2/STAT3 signaling [J]. Cell Death Dis, 2018, 9(2): 25.